

Archiv von Heisenbergs Briefen

von: Werner Heisenberg

an: Pauli

Datum: 07.05.1928

Stichworte: Fortsetzung der Theorie des Ferromagnetismus

Ursprung: Pauli Archiv in Genf

Kennzeichen im Pauli Archiv in Genf: heisenberg_0017-051ar

Meyenn-Nummer: 193

Veröffentlichung mit freundlicher Genehmigung der Familie Heisenberg und des Pauli-Archivs in Genf.

Copyright (c) Heisenberg-Gesellschaft e. V., München, VR 204617, 2016

Reproduktion (auch auszugsweise) nur mit Erlaubnis der Rechteinhaber.

Lieber Pauli!

Kennte vorl. ist meine Epistel über den Ferromagnetismus
fortsetzen und zunächst die Hauptlinie von der schwierigen, die du
natürlich auch längst geschenkt hast. Den Symmetrienschwundel
am Schluss bei der statistischen Ausrechnung müsse ich
mädrich als von höherer Bedeutung vernachlässigen. ~~Also~~
Der Hauptschwundel liegt nun vielleicht darin, dass ich
für alle Terme von gleichem Gesamtimpuls j den Energie-
schwerpunkt, ~~sollte~~ den richtigen Term ~~vers~~ erügesen hab.
Wenn die Terme stark um den Schwerpunkt streuen,
so kann sich das Resultat total ändern. Man kann auch
leicht ein Gegenbeispiel gegen die bisherige Rechnung
bei bringen: Esse ein Gas, in dem je 2 Atome H_2O (also eine
 $1 \leftrightarrow 2$, $3 \leftrightarrow 4$, $5 \leftrightarrow 6$, ...) resonanzgekoppelt sind so, dass
Parallelstellung der Spins ~~am~~ stabolster ist, wobei aber
verschiedene Paare gar keine Wechselwirkung haben. In
diesem Fall gäbe garantiert keinen Ferromagnetismus,
trotzdem liegen die Energieschwerpunkte so, wie ich
wenlich schreib, und in diesem Fall. Es wird also nötig
sein, die Zersezung der Energien um den Schwerpunkt

generell zu kennen. Da ein Ausrechnen aller n -Wurzeln anspruchsvoll ist, hab ich folgendes angesetzt: Die Wurzeln bedeuten nunmehr das mittlere Schwankungsquadrat der Energie um den Schwerpunkt E_0 . Das lässt sich gruppentheor. machen und führt zur Formel

$$\overline{\Delta E^2} = \frac{\sum_{P,P'} (X^E X^{P,P'} - X^P X^{P'}) J_P J_{P'}}{(X^E)^2}$$

Dann nehme ich an, dass die Verteilung ρ im wesentlichen eine Gaußsche Fehlerkurve sei, die über das angegebene Schwankungsquadrat liefert. Dann kann man wieder alles rechnen. Die Anzahl der Terme zwischen ΔE und $\Delta E + d\Delta E$ wird dann $\propto X_E \cdot \sqrt{\frac{\pi}{a}} e^{-\Delta E^2/a}$ $d\Delta E$, wo $a = \frac{2}{\overline{\Delta E^2}}$. (Das Integral von ΔE von $-\infty$ bis $+\infty$ muss natürlich $f_E = f_E$ ergeben).

Zu der Zustandssummierung also jetzt, an Stelle von $\sum_{E=0}^{+\infty} e^{-\frac{E_0}{kT}} \chi(E)$ die Größe $\int_{-\infty}^{+\infty} e^{-\frac{E_0}{kT} - \frac{\Delta E^2}{kT} - \Delta E^2/a} \cdot X_E \sqrt{\frac{\pi}{a}} d\Delta E$

$$= e^{-\frac{E_0}{kT} + \frac{\overline{\Delta E^2}}{2k^2 T^2}}$$

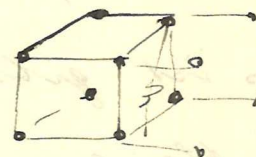
Der Unterschied ist nun, dass $\overline{\Delta E^2}$ nicht mehr für alle Atome vom wiederholten Teilchen Bedarf ist, die gleiche Funktion von j und n ist, sondern dass $\overline{\Delta E^2}$ wesentlich von der Anordnung abhängt. Allgemein ist die Größenordnung von $\overline{\Delta E^2} \sim \frac{E_0^2}{n}$, nicht wie man eher meinen könnte $\frac{E_0^2}{n^2}$. Damit hat ich die ersten Reduktionen

durchgeführt für 3 verschiedene Anordnungen. (Gesamtkettel der Teilchen
 $= 2n$)

1.) Je zwei Atome gehören zu einem Paar zusammen (des
"Gegenbeispiel" von oben.)

2.) die lineare Kette.

3.) Räumliches (kubisches) Gitter.



Das Resultat ist: die e-Funktion sieht so aus

$$e^{\alpha \frac{j^2}{2n} + \alpha^2 \frac{(n^2-j^2)(3n^2-j^2)}{8z n^3}}$$

wobei im Falle 1.) $z=1$, im Fall 2.; $z=2$ und im Fall 3
 $z=6$ zu setzen ist. Dabei ist $\alpha = \frac{E_0}{nkT}$, (in der kritischen
Temperatur gegen 0 α grösstwährend 1), niedrigere Potenzen
von n und j sind vernachlässigbar. Nehmen wir
wieder zur ~~Überlappung~~ Summation über m und j des Ausdrucks
 $\sum_m \sum_j e^{\beta m + \alpha \frac{j^2}{2n} + \alpha^2 \dots}$

$\chi(E)$ führt, so verdeutlicht der
Schwund höherer Ordnung von m nicht an und ~~ist~~ entfällt
 m in der Gegend $m \approx m_0$. Es folgt schliesslich für die
diskrete Summe

$$\sum_{m=-\infty}^{+\infty} e^{\beta m + \alpha \frac{m^2}{2n} (1 - \frac{\alpha}{2} + \frac{\alpha^2}{2z} \frac{m_0^2}{n^2})} (2n)_{n-m}$$

$$= \left(e^{-\frac{1}{2}(\beta + \alpha \frac{m_0}{n})} + e^{-\frac{1}{2}(\beta + \alpha \frac{m_0}{n})} \right)^{2n}$$

Schliesslich

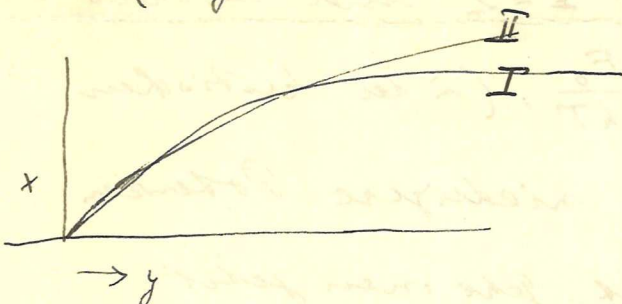
$$m_0 = n \cdot \frac{7}{2} y \left(\beta + \alpha \frac{m_0}{n} \left(1 - \frac{\alpha}{2} + \frac{\alpha^2}{2^2} \frac{m_0^2}{n^2} \right) \right), \quad \text{B}$$

Setzt man $\frac{m_0}{n} = x$, $\frac{7}{2} \left(\beta + \alpha \frac{m_0}{n} \left(1 - \frac{\alpha}{2} + \frac{\alpha^2}{2^2} \frac{m_0^2}{n^2} \right) \right) = y$, so

haben die Gleichungen

$$x = 7y, \quad \underbrace{\beta + \alpha x \left(1 - \frac{\alpha}{2} + \frac{\alpha^2}{2^2} x^2 \right)}_{\text{I}} = 2y \quad \text{und die}$$

Schnittpunkte dieser Kurven sind unpräzise. Man sieht nun sofort, dass alles auf der Werte von z an kommt, wenn z hinreichend gross ist, gibts es bei geeigneten α Ferromagnetismus, bei kleinen z nichts. Die Werte $z=1$ und $z=2$ geben keinen Ferromagnetismus, sie sind viel zu klein; $z=6$ liegt eben an der Grenze und liefert Schnittpunkte. Sicher ist aber ^{noch} die Tangente von II im Nullpunkt (für $\beta=0$) immer noch \gg grösser



als die von I, die Schnittpunkte werden für günstige Werte von α (bei $\alpha \approx 3$ kann) nur durch das kubische Glied gerade noch ermöglicht. Ist von $z > 8$ ab bekommt man das übliche Bild der beiden Kurven, mit dem Unterschied, dass an Stelle der Geraden bei $z=6$ hier eine kubische Parabel steht. Dass es bei $z=6$ gerade 3 mehrere Schnittpunkte noch nicht der Brüder gibt, bedeutet wohl physikalisch nichts. Aber man sieht, dass man in Wirklichkeit noch mehr Partikel als je eines mit 6 anderen in Resonanzverdopplung stehen.

Alles in allen also findet man versteckt doch schon wesentlich besser, vorauf es beim F.m. eigentlich ankommt.

Nun viele grüsse

Sein v. Leibnitz.